

九州大学 工学部 正員 山崎 徳也

九州大学 工学部 正員 山田善四郎

長崎大学 工学部 正員 横木 武

1. 諸言

先に、著者らは一対辺が單純支持され、他対辺が任意間隔に配置された柱で支持される矩形板¹⁾および扇形板²⁾について級数解を用いる厳密解法を発表した。すなはち、板の基礎微分方程式から基本連立方程式を誘導のうえ、これを解いて未知不静定力たる柱の反力をおよび反りモーメントを算出すれば、本題の板構造は静定化し解けることとなる。しかし、級数解ゆえ、たわみの3階微分、すなはち、せん断力や單純支持辺の反力を求めるには級数の収束性が極めて高く困難である。また、一対辺が固定され他の辺が柱にて支持される場合や、全周辺が柱にて支持される場合などを含め周辺が他の支持条件で支持される矩形板や扇形板その他の任意形状板では基礎微分方程式の厳密解をうることが一般に困難である。以上のことを解析困難な場合には、他の板構造と同様、本題の板構造についても差分法や有限要素法などの近似解法を用うることができると一般的に多くの問題につけてこれらの方針をそのまま適用のうえプログラム化され計算されておりたが、その都度大容量の電子計算機を必要とし、かかる意味より必ずしも実用的でないことも多い。そこで、本研究は周辺の一部または全周辺に柱が配置され、加えて任意境界条件をもつ矩形板の解法として、著者らが先の級数解を示した解法原理に近似解たる有限要素法と組み合わせた実用解法を提示するとともにその力学的特性を明らかにせんとするものである。

2. 解法原理

板と柱とが直交して剛結された場合は、板から柱に垂直反力、 X 、 y 方向の水平反力、曲げモーメントおよび振りモーメントが伝えられるが、板面内の振りモーメントおよび水平反力はそれぞれ微小であるからこれらを無視することとする（図-1参考）。

級数解による著者らの研究³⁾から、周辺が柱にて支持される矩形板の解法を次のとく要約することができる（図-2参考）。

一般に、板がY軸の柱で支持されるものとし、また、板面に対して任意垂直荷重が作用するものとする。しかると、板面内に図-2のとく直交座標系（ x , y , z ）を導入すれば、板からY軸の柱に伝えられる力およびモーメント、すなはち不静定反力 R_i , M_{xi} , M_{yi} を求めるための基本連立方程式は次のとくえられる。

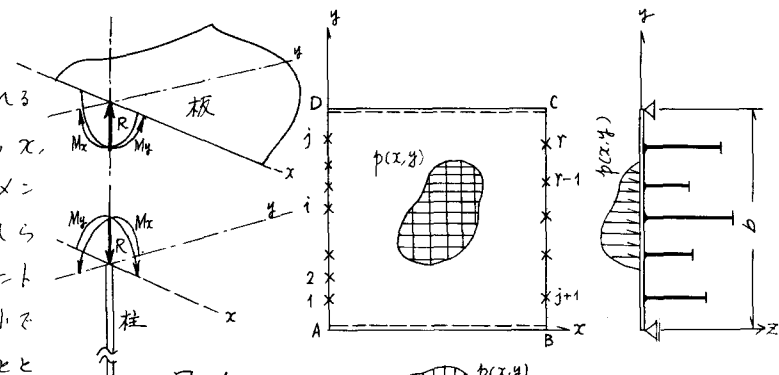


図-1

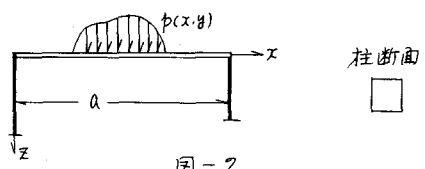


図-2

$$\begin{bmatrix} A_{ik}^d & A_{ik}^x & \cdots & A_{ik}^y & -B_{ik}^d & -B_{ik}^x & \cdots & -B_{ik}^y & C_{ik}^d & C_{ik}^x & \cdots & C_{ik}^y & -C_{ik}^d \\ A_{ik}^x & A_{ik}^x & \cdots & A_{ik}^x & -B_{ik}^x & -B_{ik}^x & \cdots & -B_{ik}^x & C_{ik}^x & C_{ik}^x & \cdots & C_{ik}^x & -C_{ik}^x \\ A_{ik}^y & A_{ik}^y & \cdots & A_{ik}^y & -B_{ik}^y & -B_{ik}^y & \cdots & -B_{ik}^y & C_{ik}^y & C_{ik}^y & \cdots & C_{ik}^y & -C_{ik}^y \end{bmatrix} \cdot X = \begin{bmatrix} L_k^d - d_R \\ L_k^x - \theta_R \\ L_k^y - \theta_R \end{bmatrix} \quad (1) \quad R=1, 2, \dots, r$$

$$\text{ここで } X = \{R_1, R_2, \dots, R_r, M_{x1}, M_{x2}, \dots, M_{xr}, M_{y1}, M_{y2}, \dots, M_{yr}\}^T$$

R_i : 上向きを正とする。 M_{xi} : 鳥居側からみた右まわりを正とする。

M_{yi} : 鳥居側からみた左まわりを正とする。 d_i : 柱の頭部の垂直変位で下向きを正とする。

θ_{xi} : 柱*i*の頭部のX方向の回転変位でその符号は M_{xi} と一致する。

θ_{yi} : 柱*i*の頭部のY方向の回転変位でその符号は M_{yi} と一致する。

式(1)左边の係数行列における各要素は形状定数であり、また、右边の第一項は荷重により生ずる荷重項であるが、これらはそれぞれ次の二種類に分類される。すなわち、本題の被構造から柱を取り除いて生じられる構造物を基本構と名付ければ、基本構が単位である場合に限って、各形状定数 $A_{ik}^d, A_{ik}^x, A_{ik}^y, B_{ik}^d, B_{ik}^x, B_{ik}^y, C_{ik}^d, C_{ik}^x, C_{ik}^y$ および荷重項 L_k^d, L_k^x, L_k^y はそれぞれ次の二種類の内各をもつものである(図-3参照)。

A_{ik}^d = 基本構の点*i*に単位荷重 $P=1$ がからくとき、鳥居が下向きにおこす垂直変位 d_R である。

A_{ik}^x = 基本構の点*i*に単位荷重 $P=1$ がからくとき、点*i*が鳥居側からみた右まわりにおこすX方向の回転変位 θ_{Rk} である。

A_{ik}^y = 基本構の点*i*に単位荷重 $P=1$ がからくとき、鳥居が鳥居側からみた左まわりにおこすY方向の回転変位 θ_{yk} である。

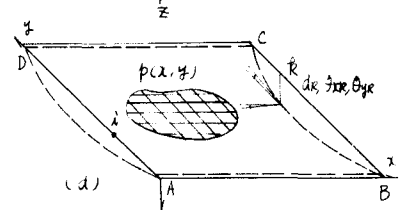
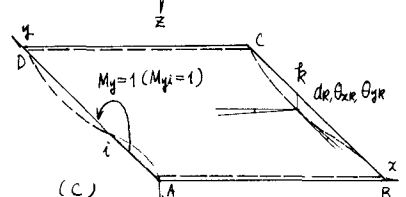
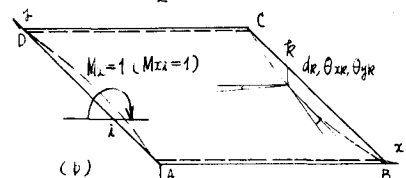
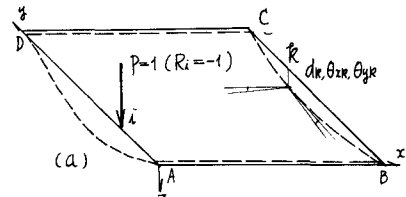
B_{ik}^d = 基本構の点*i*に単位X方向モーメント $M_{xi}=1$ がからくとき、鳥居が下向きにおこす垂直変位 d_R である。

B_{ik}^x = 基本構の点*i*に単位X方向モーメント $M_{xi}=1$ がからくとき、鳥居が鳥居側からみた左まわりにおこすX方向の回転変位 θ_{Rk} である。

C_{ik}^d = 基本構の点*i*に単位Y方向モーメント $M_{yi}=1$ がからくとき、鳥居が下向きにおこす垂直変位 d_R である。

C_{ik}^x = 基本構の点*i*に単位Y方向モーメント $M_{yi}=1$ がからくとき、鳥居が鳥居側からみた右まわりにおこすY方向の回転変位 θ_{Rk} である。

C_{ik}^y = 基本構の点*i*に単位Y方向モーメント $M_{yi}=1$ がからくとき、鳥居が鳥居側からみた左まわりにおこすY方向の回転変位 θ_{Rk} である。



* 例えば一対辺重ね支持他対辺自由三たる矩形材を基本構にとるものとする。

図-3

L_R^1 = 求めんとする L_R^1 の荷重状態と同じ荷重が基本構にからくとき、基本構の点 A が下向きにおこす直変位 δ_R^1 である。

L_R^2 = 求めんとする L_R^2 の荷重状態と同じ荷重が基本構にからくとき、基本構の点 A が左側からみて右側手よりにおこす X 方向の回転変位 δ_R^2 である。

L_R^3 = 求めんとする L_R^3 の荷重状態と同じ荷重が基本構にからくとき、基本構の点 A が右側からみて左側手よりにおこす Y 方向の回転変位 δ_R^3 である。

以上から明らかのように、形状差数および荷重項のいずれも基本構のたわみすには、たわみ角によつて意味されることとなる。したがつて、柱の境界条件を有する基本構について、単位荷重、単位モーメントおよび任意垂直荷重が作用する場合の断面諸量があらかじめ算出工れておれば、これらに加えて柱で支持される本題の板構造を解くことが可能となる。すなれち、式(1)の各式を柱のすべての位置で求め、これらを諸式を連立して解けば、未知不静定力たる柱軸反力および反力モーメントが算定される。しかると、本題の板構造は任意垂直荷重とともに柱の反力および反力モーメントをも荷重として扱ける基本構の回転に帰することとなり、重ね合せの原理から断面諸量が簡単に決定されることとなる。さて、肝要の基本構の断面諸量であるが周知のごとく一対の单纯支持を含む数種の境界条件の矩形板に限り級数解による厳密解をうるしが、一般的には厳密解を求めるしが困難である場合の方が多い。かつて場合の近似解法としては写像函数を用うる方法や差分法、有限要素法などがあるが、その中で有限要素法が最も簡便であり、また、応用範囲が広いことを考慮し本研究ではこれを用いて上記基本構の断面諸量の算出を行ひ、本題の構造を含むる体系的一般解法を可能ならしめたものである。

3. 通用例

(1) 有限要素法の精度 著者らが文献(1)で示したものと同じ例題(図-4参照)をえらび級数解と有限要素法とを用いた近似解法による結果とを比較し、有限要素法の精度を数値的に吟味すれば表-1へ表-4のごとくである。すなむち、表-1および表-2は基本連立方程式における形状差数および荷重項を比較したもので、 3×3 分割の場合ではかなり誤差が大きいが、 6×6 分割ではさう5%程度に止まる。表-3は基本連立方程式の解たる不静定力を比較したもので、有限要素法の誤差はたかだか8%以下である。表-4は板中央点のたわみを示したもので有限要素法が実用的に十分有意味であることが認められる。

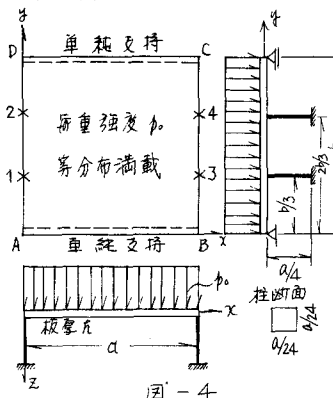


図-4

	$A_{11}^d, A_{21}^d, A_{31}^d, A_{41}^d$	$A_{21}^d, A_{31}^d, A_{41}^d, A_{51}^d$	$A_{31}^d, A_{41}^d, A_{51}^d, A_{61}^d$	$A_{41}^d, A_{51}^d, A_{61}^d, A_{71}^d$
FEM _{3×3}	0.046140 (5.6)	0.035992 (2.3)	0.005760 (5.8)	0.005649 (6.2)
_{6×6}	0.048113 (1.6)	0.036678 (5.5)	0.005895 (3.6)	0.005831 (3.2)
exact	0.048888	0.036853	0.006114	0.006023
	$B_{11}^d, B_{21}^d, B_{31}^d, B_{41}^d$	$B_{21}^d, B_{31}^d, B_{41}^d, B_{51}^d$	$B_{31}^d, B_{41}^d, B_{51}^d, B_{61}^d$	$B_{41}^d, B_{51}^d, B_{61}^d, B_{71}^d$
FEM _{3×3}	0.112568 (7.5)	0.062036 (0.1)	0.006954 (0.9)	0.008103 (4.2)
_{6×6}	0.113472 (6.8)	0.062089 (0.1)	0.007104 (5.4)	0.007566 (2.7)
exact	0.121688	0.062090	0.007443	0.007779
	$C_{11}^d, C_{21}^d, C_{31}^d, C_{41}^d$	$-C_{21}^d, -C_{31}^d, -C_{41}^d, C_{51}^d$	$C_{31}^d, C_{41}^d, C_{51}^d, C_{61}^d$	$C_{41}^d, C_{51}^d, C_{61}^d, C_{71}^d$
FEM _{3×3}	0.059205 (1.8)	0.066347 (4.0)	0.009833 (12.0)	0.009533 (12.0)
_{6×6}	0.060021 (0.4)	0.069257 (0.7)	0.010528 (5.8)	0.010763 (0.8)
exact	0.060264	0.069223	0.011733	0.010855

例えれば $A_{11}^d, A_{21}^d, A_{31}^d$ を求む

表-1 形状差数

	$L_1^4, L_2^4, L_3^4, L_4^4$	$-L_1^2, -L_2^2, L_3^2, L_4^2$	$L_1^2, L_2^2, -L_3^2, -L_4^2$
FEM _{3x3}	0.012449 (4.5)	0.011528 (4.3)	0.021384 (7.8)
_{6x6}	0.012544 (3.7)	0.011854 (1.4)	0.022543 (2.3)
exact	0.013011	0.012027	0.023060

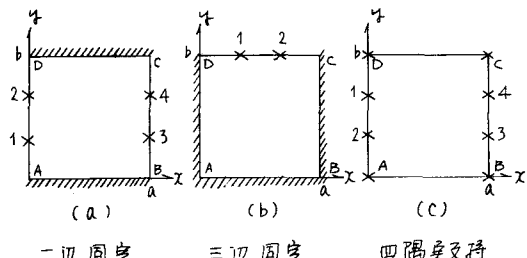
表-2 荷重項

	$R_1, R_2, R_3, R_4 \times a^2 p_0$	$-M_{x1}, M_{x2}, M_{x3}, M_{x4} \times p_0 a^3$	$M_{y1}, M_{y2}, M_{y3}, M_{y4} \times p_0 a^3$
FEM _{3x3}	0.14307 (6.0)	0.010030 (7.9)	0.000270 (7.6)
_{6x6}	0.14923 (2.0)	0.010563 (3.1)	0.000266 (7.2)
exact	0.15221	0.010901	0.000287

表-3 不静空力の値

(2) 級数解で解けない矩形板の例

2. の解法原理を図-5. (a), (b), (c) に示す 3 例にフリで適用し、それぞれの解析結果を示せば表-5 のごとく求められる。



* 柱位置は柱支持される辺の $\frac{1}{3}, \frac{2}{3}$ にあるものとする

* 荷重は全面荷分布荷重とする(荷重強度)

* $\nu = 0.3$

FEM _{3x3}	3×3	0.56095 (4.0)
_{6x6}	6×6	0.57146 (2.2)
exact		0.58432

表-4 板中央点のたわみ $\times 10^{-3} \frac{p_0 a^4}{D}$

* たゞし $\mu = b/a = 1.0, \nu$ (ボアソン比) = 0.3

* FEM は有限要素法の値 * D: 板剛度

* 表中, () 内の数値は級数解との誤差, %

FEM _M	μ	0.5	1.0	1.5	2.0
(a)	3×3	0.023712	0.082672	0.175477	0.276759
	6×6	0.020036	0.077162	0.167576	0.267163
(b)	3×3	0.060178	0.082425	0.095062	0.120589
	6×6	0.059324	0.076706	0.092573	0.118432
(c)	3×3	0.057445	0.139055	0.225975	0.384656
	6×6	0.054528	0.134805	0.205089	0.368936

たゞし $\mu = b/a$, すなはち柱の曲げ剛性は無視する。

表-5 垂直反力の値 ($R_i \times p_0 a^2$)

4. 結語

本法は基本構にフリでその断面諸量のみがデータとして用いられる。したがって、各種基本構にフリでその断面諸量をあらかじめ計算のうえ因表化しておけば、本題の構造物はその都度電子計算機を使用することなく、簡単な手計算によって解くことができる極めて実用的である。しかしながら、種々の形式をもつ基本構にフリでさまざまな方法や荷重状態に対する断面諸量を求めることはさう大なる計算量となることは明らかである。今日、近似解法とフリの有限要素法と電子計算機の発達、普及とともに極めて多種類の形状および荷重状態を有する板構造が広く解析されており、これらの結果を統一集成すれば本法による本題のごとき各種構造物の体積的解析が極めて容易となりその実際活用が期待されるものである。

参考文献 (1) 山崎、橋木、山田：一对辺が中间支柱にて剛結される等方性矩形板の解法

昭和42年度 土木学会西部支部 研究発表会論文集 (昭和43年2月)

(2) 山崎、橋木、山田：円周に沿う二辺が柱にて支持される矩形平板の解法

第23回 土木学会 年次学術講演会講演提要 (昭和43年10月)